

# Sprawozdanie – Laboratoria 4.

Jakub Kogut

14 stycznia 2026

## 1 Wstęp

Na liście 4. zajmujemy się problemem *Max Flow*. Celem jest znalezienie maksymalnego przepływu w sieci przepływowej. W tym celu zaimplementowano algorytm *Edmonds-Karp*, który jest implementacją metody *Ford-Fulkerson* wykorzystującą przeszukiwanie wszerz (BFS) do znajdowania ścieżek powiększających, oraz algorytm *Dinica*, który wykorzystuje koncepcję warstwego grafu resztowego do znajdowania blokujących przepływów, jak i prównanie z rozwiązaniem problemu jako zagadnienia programowania liniowego przez wykorzystanie *GLPK*.

## 2 Opis problemów

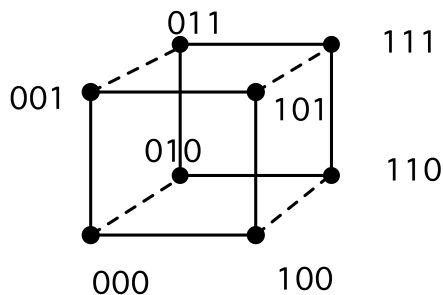
W zadaniach pojawiają się dwie różne rodziny grafów przepływowych, na których należy znaleźć maksymalny przepływ.

- **hiperkostki** – grafy zdefiniowane jako:

$$H_k = (N_k, A_k)$$

gdzie:

- $N_k = \{0, 1, \dots, 2^k - 1\}$  – zbiór wierzchołków reprezentowanych jako liczby całkowite od 0 do  $2^k - 1$ ,
- $A_k = \{(i, j) \in N_k \times N_k : e(i) - e(j) \geq 0 \wedge H(e(i) - e(j)) = 1\}$  – zbiór krawędzi, gdzie  $e : \mathbb{N} \rightarrow \{0, 1\}^k$ ,  $e(n)$  to reprezentacja wektorowa (postać binarna) liczby  $n$ , a  $H(u, v)$  to odległość Hamminga między wektorami binarnymi  $u$  i  $v$ .



Rysunek 1: Hiper kostka  $H_3$

Grafy z tej rodzyń mają  $2^k$  wierzchołków i  $k \cdot 2^{k-1}$  krawędzi, są  $k$ -regularne. W zadaniu każda krawędź ma przypisaną losową, z rozkładem jednostanym, pojemność ze zbioru  $\{1, \dots, l\}$ , gdzie  $l = \max_{(i,l) \in A_k} \{H(e(i)), Z(e(i)), H(e(j)), Z(e(j))\}$ .

- **nieskierowany graf dwudzielny** – grafy zdefiniowane jako:

$$G_{k,i} = (V_1 \cup V_2, E)$$

gdzie:

- $V_1 = \{u_1, u_2, \dots, u_{2^k}\}$  – zbiór wierzchołków po lewej stronie,
- $V_2 = \{v_1, v_2, \dots, v_{2^k}\}$  – zbiór wierzchołków po prawej stronie,
- $E = \{(u_m, v_n) : 1 \leq m \leq 2^k, 1 \leq n \leq 2^k\}$  – zbiór krawędzi łączących wierzchołki z lewej i prawej strony.

## 3 Implementacja

W tej części do rozwiązywania problemu zaimplementowałem 2 algorytmy: *Edmonds-Karp* oraz *Dinica*. Dodatkowo wykorzystałem bibliotekę *GLPK* do rozwiązywania problemu jako zagadnienia programowania liniowego.

### 3.1 Metoda Forda–Fulkersona

Metoda Forda–Fulkersona jest ogólną procedurą wyznaczania maksymalnego przepływu w sieci przepływowej  $G = (V, E)$  z wyróżnionym źródłem  $s$ , ujściem  $t$  oraz pojemnościami  $c(u, v) \geq 0$ . Idea metody polega na wielokrotnym znajdowaniu ścieżek powiększających w grafie rezydualnym i zwiększaniu przepływu wzduż tych ścieżek, aż do momentu, gdy dalsze powiększanie nie jest możliwe.

**Graf rezydualny.** Dla aktualnego przepływu  $f$  definiuje się pojemność rezydualną

$$c_f(u, v) = c(u, v) - f(u, v),$$

czyli ile dodatkowego przepływu można jeszcze przesłać krawędzią  $(u, v)$ . Aby umożliwić modyfikację wcześniej wysłanego przepływu, do grafu rezydualnego dodaje się także krawędzie wsteczne: jeśli  $f(u, v) > 0$ , to w  $G_f$  istnieje krawędź  $(v, u)$  o pojemności  $c_f(v, u) = f(u, v)$ , pozwalająca „cofnąć” część przepływu. Graf rezydualny  $G_f$  składa się z tych krawędzi  $(u, v)$ , dla których  $c_f(u, v) > 0$ .

**Ścieżka powiększająca i augmentacja.** Ścieżka  $P$  od  $s$  do  $t$  w grafie rezydualnym  $G_f$  nazywana jest ścieżką powiększającą. Dla takiej ścieżki wyznacza się *wąskie gardło*:

$$\Delta = \min_{(u,v) \in P} c_f(u, v),$$

czyli maksymalną wartość, o jaką można zwiększyć przepływ wzduż całej ścieżki, nie przekraczając pojemności. Następnie aktualizuje się przepływ:

- jeśli krawędź  $(u, v)$  na ścieżce jest zgodna z kierunkiem oryginalnej krawędzi, zwiększa się  $f(u, v)$  o  $\Delta$ ,
- jeśli wykorzystano krawędź wsteczną  $(v, u)$ , to zmniejsza się  $f(u, v)$  o  $\Delta$  (co odpowiada cofnięciu części przepływu).

Po tej operacji zmieniają się pojemności rezydualne i w konsekwencji sam graf rezydualny  $G_f$ .

**Warunek zakończenia.** Procedura jest powtarzana, dopóki istnieje ścieżka powiększająca z  $s$  do  $t$  w grafie rezydualnym. Gdy  $t$  staje się nieosiągalne z  $s$  w  $G_f$ , nie ma już możliwości powiększenia przepływu i uzyskany przepływ jest maksymalny. Z twierdzenia max-flow min-cut wynika, że brak ścieżki powiększającej jest równoważny istnieniu przekroju o pojemności równej aktualnej wartości przepływu.

**Złożoność i uwagi.** Metoda Forda–Fulkersona nie preczyzuje sposobu wyboru ścieżek powiększających. Dla pojemności całkowitych gwarantuje to zakończenie po skończonej liczbie augmentacji, lecz czas działania zależy od wyboru ścieżek. W skrajnym przypadku liczba iteracji może być bardzo duża. Dwa popularne uszczegółowienia tej metody to:

- Edmonds–Karp: wybiera najkrótszą ścieżkę (BFS), co daje złożoność  $O(|V| \cdot |E|^2)$ ,
- Dinic: pracuje fazami na grafie warstwowym, osiągając  $O(|V|^2 \cdot |E|)$  w ogólnym przypadku.

**Uwagi implementacyjne.** W implementacji praktycznej jest przechowywanie dla każdej krawędzi jej krawędzi odwrotnej (reverse), co umożliwia szybkie aktualizacje pojemności rezydualnych przy augmentacji. Wyszukiwanie ścieżki powiększającej można realizować dowolnym przeszukiwaniem grafu (DFS/BFS), zależnie od wybranej warianty metody.

### 3.2 Edmonsa-Karpa

Algorytm Edmonsa-Karpa jest wariantem metody Forda–Fulkersona wyznaczania maksymalnego przepływu w sieci przepływowej  $G = (V, E)$  z wyróżnionym źródłem  $s$  i ujściem  $t$  oraz pojemnościami  $c(u, v) \geq 0$ . Kluczową cechą EK jest to, że w każdej iteracji wybiera on ścieżkę powiększającą o najmniejszej liczbie krawędzi, tzn. znajduje ją algorytmem BFS w grafie rezydualnym.

**Graf rezydualny.** Dla aktualnego przepływu  $f$  definiuje się pojemność rezydualną

$$c_f(u, v) = c(u, v) - f(u, v),$$

a także krawędzie wsteczne, które umożliwiają cofanie wcześniej wysłanego przepływu: jeśli  $f(u, v) > 0$ , to w grafie rezydualnym istnieje krawędź  $(v, u)$  o pojemności rezydualnej  $c_f(v, u) = f(u, v)$ . Zbiór krawędzi rezydualnych tworzy graf  $G_f$ .

**Iteracja algorytmu.** W każdej iteracji:

1. Uruchamiamy BFS w grafie rezydualnym  $G_f$  zaczynając od  $s$ , aby znaleźć najkrótszą (w liczbie krawędzi) ścieżkę powiększającą do  $t$ .
2. Jeśli  $t$  jest nieosiągalne, to nie istnieje już ścieżka powiększająca i obecny przepływ jest maksymalny.
3. W przeciwnym razie wyznaczamy *wąskie gardło* ścieżki  $P$ :

$$\Delta = \min_{(u,v) \in P} c_f(u, v),$$

a następnie powiększamy przepływ o  $\Delta$  na krawędziach ścieżki  $P$ . Dla krawędzi zgodnych z kierunkiem zwiększymy  $f(u, v)$ , natomiast dla krawędzi wstecznych zmniejszymy  $f(u, v)$  (co odpowiada przesuwaniu przepływu na alternatywne trasy).

Każde takie powiększenie zwiększa wartość przepływu o  $\Delta$  i jest liczone jako jedna *ścieżka powiększająca* (użyte w eksperymentach jako licznik iteracji algorytmu).

**Złożoność.** W EK każda iteracja znajduje ścieżkę BFS w czasie  $O(|E|)$ . Można wykazać, że liczba iteracji jest ograniczona przez  $O(|V| \cdot |E|)$ , ponieważ odległość (w sensie BFS) najkrótszej ścieżki od  $s$  do dowolnego wierzchołka w grafie rezydualnym nie maleje, a „krawędzie krytyczne” (saturujące się na ścieżkach) mogą zmieniać swój status ograniczoną liczbę razy. W konsekwencji całkowita złożoność czasowa wynosi

$$O(|V| \cdot |E|^2).$$

**Uwagi implementacyjne.** W implementacji wygodnie jest przechowywać sieć w postaci list sąsiedztwa z parami krawędzi: krawędzią *forward* o pojemności rezydualnej oraz krawędzią *reverse* umożliwiającą cofanie przepływu. BFS zapisuje poprzednika wierzchołka i indeks krawędzi, co pozwala po znalezieniu  $t$  odtworzyć ścieżkę, wyznaczyć  $\Delta$ , a następnie zaktualizować pojemności rezydualne na krawędziach forward i reverse.

### 3.3 Algorytm Dinica

Algorytm Dinica (Dinic) służy do wyznaczania maksymalnego przepływu w sieci przepływowej  $G = (V, E)$  ze źródłem  $s$ , ujściem  $t$  oraz pojemnościami  $c(u, v) \geq 0$ . Podobnie jak w metodzie Forda–Fulkersona operuje on na grafie rezydualnym  $G_f$ , lecz przyspiesza działanie dzięki pracy na *grafie warstwowym* oraz wyszukiwaniu *przepływu blokującego*.

**Graf rezydualny.** Dla aktualnego przepływu  $f$  definiuje się pojemności rezydualne  $c_f(u, v)$  oraz krawędzie wsteczne o pojemności  $f(u, v)$  (umożliwiające cofnięcie części przepływu). Krawędzie o  $c_f(u, v) > 0$  tworzą graf rezydualny  $G_f$ .

**Faza: budowa grafu warstwowego (BFS).** W każdej fazie algorytm wykonuje BFS w  $G_f$  od  $s$  i wyznacza odległości (liczbę krawędzi) do pozostałych wierzchołków. Na tej podstawie definiuje się *graf warstwowy*  $L$ , zawierający tylko te krawędzie rezydualne  $(u, v)$ , które spełniają warunek:

$$\text{dist}(v) = \text{dist}(u) + 1.$$

W praktyce oznacza to, że w grafie warstwowym przepływ może iść wyłącznie „do przodu” pomiędzy kolejnymi warstwami. Jeśli BFS nie osiąga  $t$  (tj.  $\text{dist}(t) = -1$ ), to w  $G_f$  nie istnieje ścieżka powiększająca i przepływ jest maksymalny.

**Faza: przepływ blokujący (DFS).** Mając graf warstwowy  $L$ , algorytm wielokrotnie wysyła przepływ z  $s$  do  $t$  wzduż krawędzi warstwowych za pomocą DFS (z ograniczeniem pojemności rezydualnych). Celem jest wyznaczenie *przepływu blokującego* (blocking flow), czyli takiego przepływu w  $L$ , po którym żadna ścieżka  $s \rightarrow t$  w grafie warstwowym nie ma dodatniej przepustowości rezydualnej (co najmniej jedna krawędź na każdej ścieżce zostaje nasycona). W implementacji stosuje się tablicę wskaźników (np. `it[v]`), aby nie przeszukiwać w DFS wielokrotnie tych samych krawędzi, które zostały już „wyczerpane” w danej fazie.

**Schemat algorytmu.** Algorytm powtarza fazy:

1. BFS w  $G_f$  i budowa warstw  $\text{dist}[\cdot]$ .
2. Dopóki istnieje możliwość wysłania dodatniego przepływu w  $L$ : DFS zwiększający przepływ (augmentacja) wzduż krawędzi spełniających warunek warstwowy.

Po zakończeniu fazy graf warstwowy nie zawiera już ścieżki  $s \rightarrow t$  o dodatniej przepustowości; następnie wykonywany jest kolejny BFS, który albo wydłuża najkrótszą odległość do  $t$ , albo stwierdza brak ścieżki. To gwarantuje postęp i zakończenie algorytmu z przepływem maksymalnym.

**Złożoność.** Dla ogólnego grafu skierowanego klasyczna złożoność algorytmu Dinica wynosi

$$O(|V|^2 \cdot |E|).$$

W praktyce jest on zwykle znaczco szybszy niż Edmonds–Karp, ponieważ w jednej fazie (dla ustalonych warstw) potrafi „hurtowo” zwiększyć przepływ do momentu zablokowania wszystkich ścieżek w grafie warstwowym.

**Uwagi implementacyjne.** Podobnie jak w EK wygodna jest reprezentacja krawędzi w parach (forward/reverse) w liście sąsiedztwa. BFS wyznacza tablicę `level` (odległość warstw), a DFS korzysta z `it[v]` (aktualny indeks krawędzi), co zmniejsza liczbę powtórnych przejść po tych samych krawędziach w obrębie jednej fazy. W pomiarach można raportować m.in. liczbę uruchomień BFS (liczba faz) oraz liczbę wywołań DFS (prób wysłania przepływu).

## 4 Eksperymenty i wyniki

W zadaniach należało przeprowadzić eksperymenty porównujące czas działania zaimplementowanych algorytmów na różnych typach grafów przepływowych. Tutaj znajdują się ich wyniki oraz analiza.

### 4.1 Zadanie 1.

#### 4.2 Zadanie 1.

**Cel.** Celem zadania 1 było wyznaczenie maksymalnego przepływu w sieciach będących skierowanymi hiperkostkami  $H_k$  dla kolejnych wartości  $k$  oraz porównanie praktycznego czasu działania algorytmów Edmondsa–Karpa i Dinica. Dodatkowo, dla mniejszych instancji, porównano wyniki z rozwiązaniem uzyskanym przy pomocy GLPK (traktując problem jako programowanie liniowe).

**Metodyka.** Dla każdej wartości  $k$  generowano instancję hiperkostki z losowymi pojemnościami krawędzi (z wykorzystaniem stałego ziarna `seed`, aby zapewnić powtarzalność). Każdy pomiar wykonano kilkukrotnie, a następnie uśredniono czasy. Dla algorytmów własnych (EK i Dinic) mierzono czas wykonania programu, natomiast dla GLPK mierzono czas rozwiązania modelu w `glpsol` na wygenerowanym pliku `.mod`. Porównania wykonywano na tych samych danych wejściowych.

**Wyniki.** Na Figure 2 przedstawiono zależność czasu działania od parametru  $k$  (w skali logarytmicznej na osi czasu). Widać, że wraz ze wzrostem rozmiaru instancji czas działania rośnie znacząco, a algorytm Dinica jest wyraźnie szybszy od Edmondsa–Karpa dla większych wartości  $k$ . Dla małych instancji dodatkowo porównano wynik z GLPK, który zwraca tę samą wartość maksymalnego przepływu, jednak jego czas rośnie szybko wraz z rozmiarem modelu.

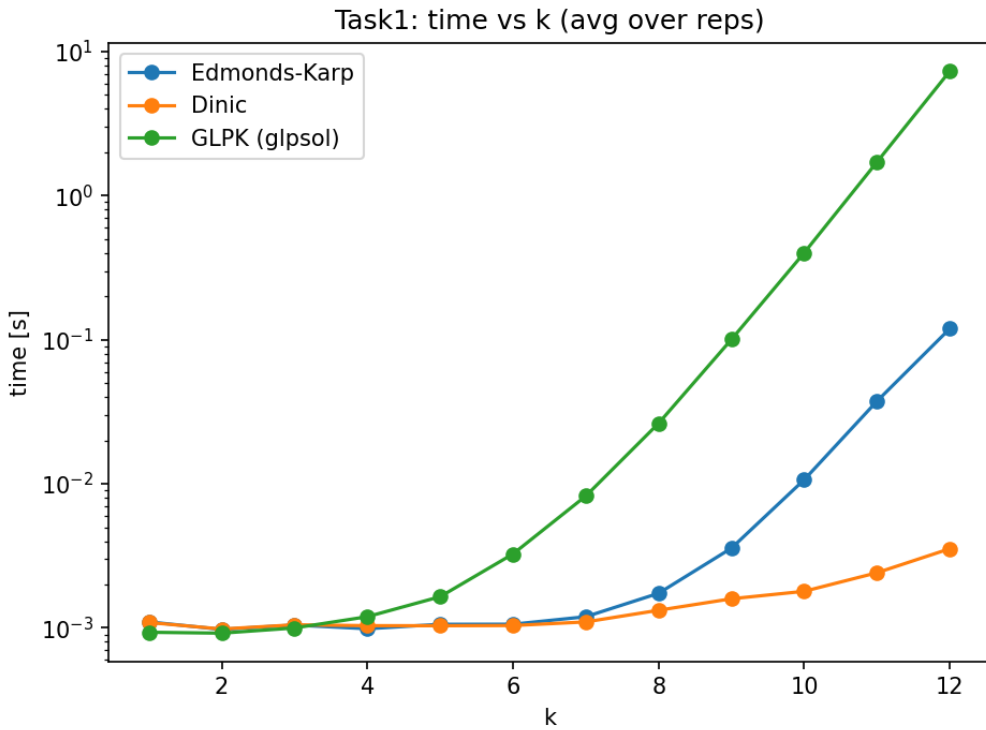
**Poprawność.** W testach porównawczych uzyskane wartości maksymalnego przepływu dla Edmondsa–Karpa i Dinica były identyczne dla tych samych instancji (ten sam `seed`). Dla mniejszych wartości  $k$  wynik był dodatkowo zgodny z wartością obliczoną przez GLPK.

**Dodatkowa obserwacja.** Wartość maksymalnego przepływu zależy od wylosowanych pojemności, dlatego w eksperymetach istotne jest użycie stałego ziarna losowości. Dla pełności na Figure 3 pokazano przykładową zależność wartości maksymalnego przepływu od  $k$ .

**Podsumowanie.** Dla hiperkostek  $H_k$  wraz ze wzrostem  $k$  rośnie rozmiar sieci ( $|V| = 2^k$ ,  $|E| = k \cdot 2^{k-1}$ ), co silnie wpływa na czas obliczeń. W praktyce Dinic okazał się najbardziej efektywny czasowo dla większych instancji, natomiast Edmonds–Karp jest prostszy, ale skaluje się gorzej.

### 4.3 Zadanie 2.

**Cel.** Celem zadania 2 było znalezienie maksymalnego skojarzenia w losowym grafie dwudzielnym  $G_{k,i}$  o rozmiarach  $|V_1| = |V_2| = 2^k$ , w którym każdy wierzchołek po lewej stronie ma dokładnie  $i$  sąsiadów po prawej stronie. Problem sprowadzono do maksymalnego przepływu przez standardową



Rysunek 2: Zadanie 1: porównanie czasu działania (średnio z kilku uruchomień) w funkcji  $k$ . Oś czasu w skali logarytmicznej.

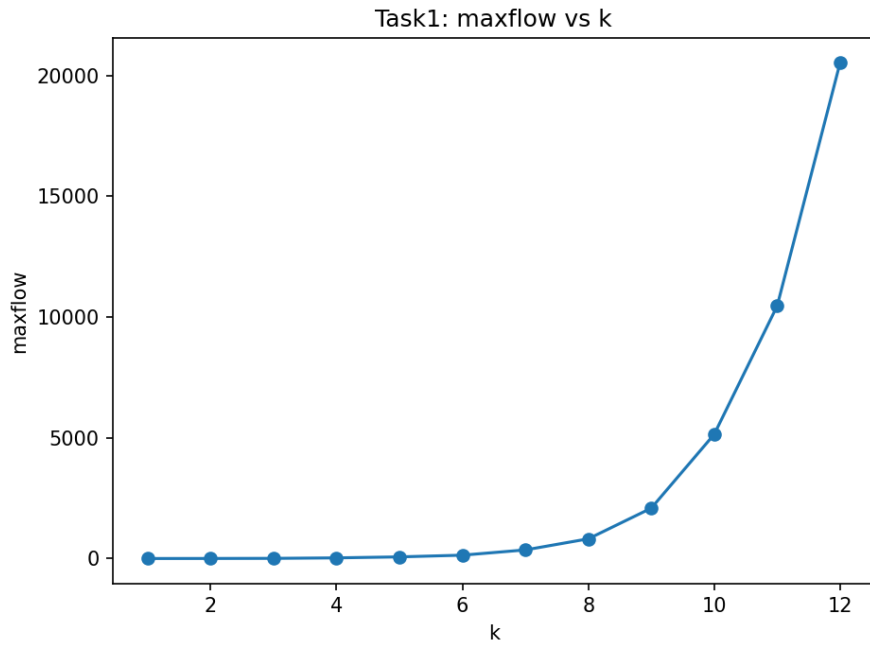
konstrukcję sieci: źródło  $s$  połączone z każdym  $u \in V_1$  krawędzią o pojemności 1, krawędzie  $u-v$  (dla  $(u, v) \in E$ ) o pojemności 1 oraz krawędzie z  $v \in V_2$  do ujścia  $t$  o pojemności 1. W takiej sieci wartość maksymalnego przepływu jest równa rozmiarowi maksymalnego skojarzenia.

**Metodyka.** Dla wybranych wartości  $k$  oraz stopnia  $i$  generowano losowe grafy dwudzielne, używając stałego `seed` w celu powtarzalności. Dla każdej pary parametrów wykonywano kilka uruchomień i uśredniano czasy. Porównano algorytmy Edmondsa–Karpa i Dinica, a dla mniejszych instancji dodatkowo rozwiązywanie przez GLPK (poprawność wartości maksymalnego przepływu/matchingu).

**Wyniki czasowe.** Na Figure 4 przedstawiono zależność czasu działania od stopnia  $i$  (uśrednioną po rozpatrywanych wartościach  $k$  oraz powtórzeniach). Oś czasu jest w skali logarytmicznej. Wraz ze wzrostem  $i$  graf staje się gęstszy (więcej krawędzi  $V_1 \times V_2$ ), co zwykle zwiększa koszt obliczeń. W praktyce Dinic wypada szybciej od Edmondsa–Karpa dla większych instancji, co jest zgodne z oczekiwaniami dotyczącymi skalowania obu metod.

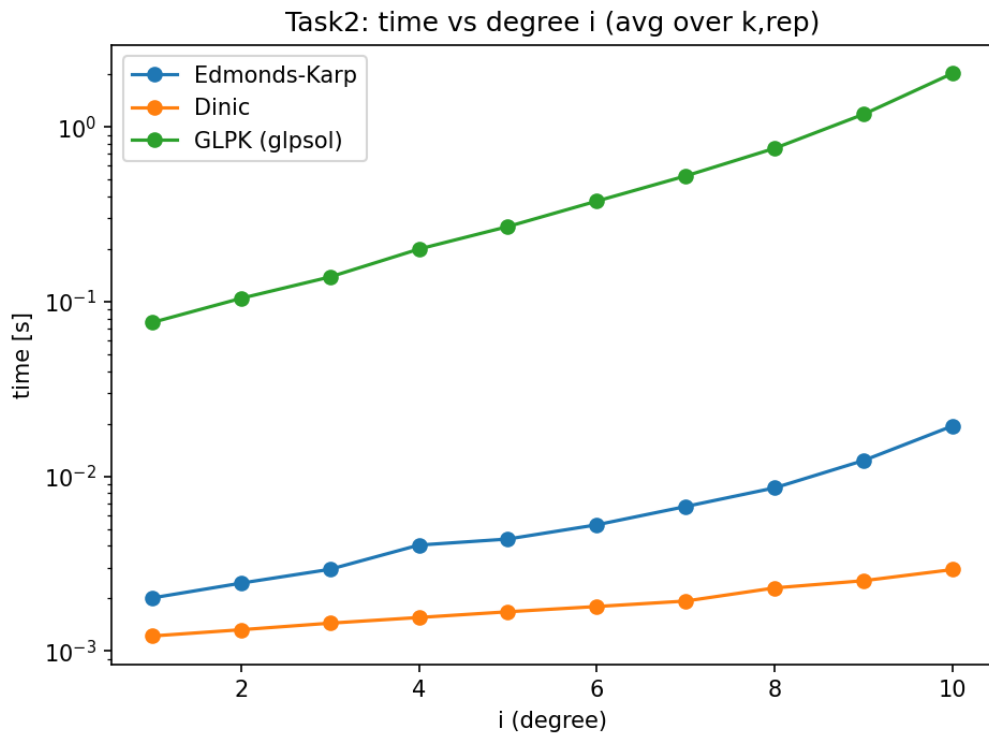
**Wielkość skojarzenia.** Rozmiar maksymalnego skojarzenia zależy od parametrów  $k$  i  $i$  oraz konkretnej realizacji losowania. Dla małych  $i$  graf może nie zawierać doskonałego skojarzenia, natomiast przy większym  $i$  rośnie szansa na skojarzenie bliskie  $2^k$ . Dla ilustracji na Figure 5 pokazano przykładową zależność rozmiaru skojarzenia od  $i$ .

**Poprawność.** Dla tych samych instancji (ten sam `seed`) Edmonds–Karp i Dinic zwracają identyczny rozmiar skojarzenia. Dla mniejszych przypadków wynik był dodatkowo zgodny z GLPK, co potwierdza poprawność redukcji matchingu do max-flow oraz implementacji algorytmów.

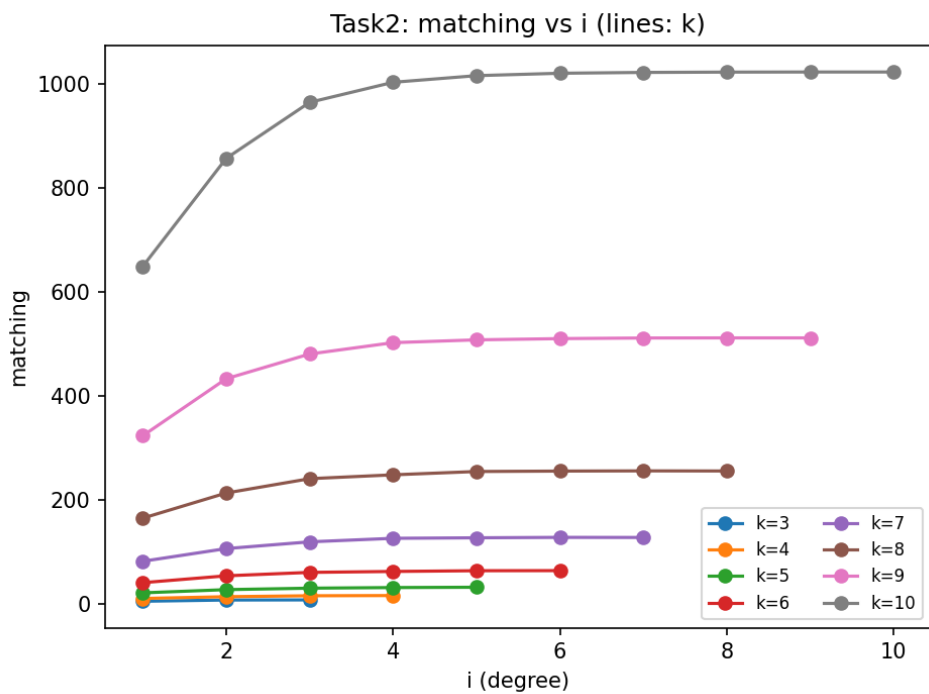


Rysunek 3: Zadanie 1: przykładowa wartość maksymalnego przepływu w funkcji  $k$  (dla ustalonego seed).

**Podsumowanie.** Zadanie 2 pokazuje praktyczne różnice w wydajności algorytmów max-flow na sieciach powstających z grafów dwudzielnych. Wraz ze wzrostem stopnia  $i$  rośnie liczba krawędzi w sieci, co wpływa na czas obliczeń. Dinic w praktyce lepiej skaluje się na gęstszych instancjach niż Edmonds–Karp, zachowując tę samą wartość rozwiązania.



Rysunek 4: Zadanie 2: porównanie czasu działania w funkcji stopnia  $i$  (średnio z kilku uruchomień), oś czasu w skali logarytmicznej.



Rysunek 5: Zadanie 2: przykładowy rozmiar maksymalnego skojarzenia w funkcji stopnia  $i$  (dla wybranych wartości  $k$  i ustalonego **seed**).